

## تأثیر حلال بر روی ساختار و خصوصیات نفوذپذیری غشاء نانوکامپوزیت پلی‌سولفون<sup>۱</sup>/سیلیکا

حامد رجبی<sup>۱</sup>، مهدی پورافشاری چنار<sup>۱</sup>، مرتضی صادقی<sup>۲</sup>، علی بولوردی<sup>۱</sup>

<sup>۱</sup>دپارتمان مهندسی شیمی، دانشکده مهندسی، دانشگاه فردوسی مشهد

<sup>۲</sup>دپارتمان مهندسی شیمی، دانشگاه صنعتی اصفهان

hamedrajabi@hotmail.com; pourafshari@um.ac.ir

### چکیده

این تحقیق تأثیرات مختلف حلال‌ها را بر روی ساختار و خصوصیات نفوذ‌غشاء پلی‌سولفون/نانوذرات سیلیکا<sup>۱</sup> و

همچنین رابطه بین توده‌ای شدن<sup>۲</sup> ذرات سیلیکا و نفوذپذیری غشاء نانوکامپوزیت پلی‌سولفون سیلیکا را بررسی می‌کند.

نانوذرات سیلیکا بوسیله فرآیند سل-ژل<sup>۳</sup> توسط هیدرولیز و کندانسیشن تترا اتوکسی‌سیلان<sup>۴</sup> (TEOS) ساخته شد<sup>[۷]</sup>.

همچنین غشاء نانوکامپوزیت پلی‌سولفون/سیلیکا بوسیله روش تغییر فاز حرارتی<sup>۵</sup> تولید شد. ان‌متیل‌پیرولیدون<sup>۶</sup> (NMP)

، دی‌متیل‌استامید<sup>۷</sup> (Dmac) ، تراهیدروفوران<sup>۸</sup> (THF) و کلروفرم<sup>۹</sup> به عنوان حلال مورد استفاده قرار گرفتند.

---

<sup>۱</sup> polysulfone  
<sup>۲</sup> silica  
<sup>۳</sup> agglomerate  
<sup>۴</sup> sol-gel  
<sup>۵</sup> Tetraethylorthosilicate  
<sup>۶</sup> thermal phase inversion  
<sup>۷</sup> N-MethylPyrrolidone  
<sup>۸</sup> N, N-DimethylAcetamide  
<sup>۹</sup> Tetrahydrofuran  
<sup>۱۰</sup> Chloroform

نتایج بدست آمده حاکی از افزایش انتخاب‌پذیری<sup>۱۱</sup> دی‌اکسید کربن به نیتروژن و اکسیژن به نیتروژن در همه موارد بود. نفوذپذیری<sup>۱۲</sup> به علت وجود ذرات نانو کاهش یافت. حلال بهتر نفوذپذیری، انتخاب‌پذیری و همچنین پراکندگی بهتر را برای ذرات نانو در مقایسه با حلال‌های دیگر به همراه داشت.

### كلمات کلیدی: پلی سولفون، سیلیکا، حلال، جداسازی گاز

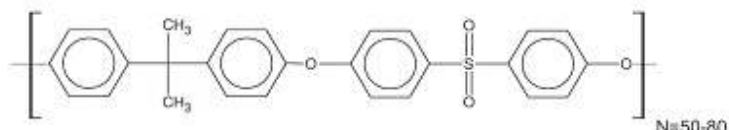
## ۱-۱. مقدمه

حالل یکی از فاکتورهای خارجی است که بر روی خصوصیات انتقال گاز از غشاها پلیمری تأثیر می‌گذارد. به این دلیل که حالل خصوصیات فیزیکی و شیمیایی دارد که نه تنها باعث واکنش بین زنجیره پلیمر می‌شود بلکه باعث فرآیندهای جدایش فازی مختلفی در طول ساخت غشاء می‌شود. همین طور غشاء ساخته شده با حلال‌های مختلف می‌تواند مورفولوژی خصوصیات مختلفی داشته باشد [۱] [۵]. موسوی و همکاران خصوصیات حالل را بر روی نفوذپذیری چند گاز خالص بررسی کردند و به این نتیجه رسیدند که حالل می‌توان بر روی دانستهنهایی محصول تأثیر داشته باشد که این به خاطر لایه ای که پلیمر را می‌پوشاند است [۱]. Khulbe و همکاران اثر حالل را بر روی غشاء PPO بررسی کردند و پس بردنده مورفولوژی غشاء با خصوصیات فیزیکی حالل تغییر می‌کند [۲,۴]. Kolonits و همکاران نشان دادند که فیلم تولید شده توسط اتیل استات یک ساختار چگال و لانه زنبوری دارد ولی غشاء تولید شده با کلروفرم ساختاری گرانولی دارد [۳]. Iqbal و همکاران اثر حالل را بر روی مورفولوژی و جداسازی  $\text{CO}_2/\text{CH}_4$  در غشاء پلی کربنات بررسی کردند [۵].

<sup>۱۱</sup> selectivity  
<sup>۱۲</sup> permeability

## ۲-۱. تجربی

پلی سولفون ((PSF) Udel-P1700) توسط Amoco Chemicals بدست آمده (شکل ۱-۱). پلی سولفون یک پلیمر شیشه‌ای<sup>۱۳</sup> است با دمای گذار شیشه‌ای<sup>۱۴</sup> ۱۸۵ درجه سانتی گراد و چگالی kg/L ۱.۲۶ [۱۰]. ان میل پیرولیدون (NMP)، دی‌متیل استامید (Dmac)، تتراهیدروفوران (THF) و کلروفرم که به عنوان حلal مورد استفاده قرار گرفتند (شکل ۲-۱) از مرک<sup>۱۵</sup> آلمان تهیه شدند. تتراتوکسی سیلان (TEOS)، ۳-گلیcidیل اوکسی پروپیل تری متوكسی سیلان (GOTMS)، اسید کلوردریک و اتانول خشک برای تولید نانوذرات سیلیکا هم از مرک آلمان تهیه شد. گازهای خالص CO<sub>2</sub>, N<sub>2</sub>, H<sub>2</sub> (خلوص ۹۹.۹۹٪) از پژوهشگاه پلیمر و پتروشیمی ایران تهیه شد. پلی سولفون قبل از استفاده برای یک شبانه روز در آون خلاً خشک شد و بقیه مواد در خلوص آزمایشگاهی بودند و بلا فاصله مورد استفاده قرار گرفتند.



شکل ۱-۱. ساختار شیمیابی پلی سولفون [۱۰]

Dmac	THF	NMP	Chloroform

شکل ۱-۲. ساختار شیمیابی حلال‌ها

<sup>۱۳</sup>glassy

<sup>۱۴</sup> Transition Temperature

<sup>۱۵</sup> Merck

تأثیر حلال بر ساختار...

## ۲-۲. آماده‌سازی غشاء پلی‌سولفون و کامپوزیت پلی‌سولفون/سیلیکا

برای تولید غشاء، ۱۰٪ وزنی پلی‌سولفون در دمای Dmac ۲۰ درجه سانتی‌گراد برای مدت یک روز حل شد و بر روی سطح صاف در دمای ۷۰ درجه سانتی‌گراد برای یک روز خشک شد. سپس برای از بین بردن حالات باقی‌مانده درون آون خلاً ۷۰ درجه سانتی‌گراد برای سه روز دیگر قرار داده شد.

برای آماده‌سازی غشاء پلی‌سولفون-سیلیکا، پلیمر در هر کدام از حالات برای مدت یک روز حل شد و ۵٪ وزنی سیلیکا سل [۷] به محلول پلیمری اضافه شد و برای ۲ ساعت محلول به اختلاط رسید.

## ۱-۲-۳. تأیین مشخصات

مورفولوژی محصول بدست آمده برای بررسی پخش شدن مناسب ذرات سیلیکا در ماتریس پلیمری از SEM نوع Oxford (Wega\Tescan) استفاده شده است. نمونه‌های غشاء برای نمایان شدن سطح مقطع در نیتروژن مایع شکسته شدند و روی آنها در خلاء با طلا پوشانده شد.

همین طور تأثیر نانوذرات سیلیکا در غشای پلیمری با استفاده از انتقال فوریه مادون قرمز FT-IR در رنج  $4000 \text{ cm}^{-1}$  تا  $600 \text{ cm}^{-1}$  مورد بررسی قرار گرفت.

## ۱-۲-۴. تست نفوذپذیری گاز

تست نفوذپذیری گاز بواسیله یک سیستم حجم ثابت/فشار متغیر [۶] با استفاده از گازهای هیدروژن ( $\text{H}_2$ )، نیتروژن ( $\text{N}_2$ )، دی اکسید کربن ( $\text{CO}_2$ ) گرفته شد. در این سیستم سطح موثر دیسک غشایی دایره‌ای حدود  $9\text{cm}^2$  است. سرعت نفوذپذیری در سیستم حجم ثابت بواسیله سرعت تغییرات فشار با زمان  $\frac{dp}{dt}$  در قسمت تراویده با حجم  $V_p$  بدست می‌آید.

$$(1-1) Q = ((V_P V_{STP}) / RT) / (dp/dt)$$

جایی که  $Q$  سرعت نفوذ گاز در دمای استاندارد و فشار STP است. شرایط STP یعنی دمای برابر  $273.15\text{K}$  و فشار برابر  $101.3\text{kPa}$  و حجم یک مول گاز در این شرایط برابر  $22.415\text{cm}^3/\text{mol}$  خواهدبود.  $R$  ثابت جهانی گاز است و  $T$  دمای مطلق سل غشایی خواهد بود [۸]. نفوذپذیری گاز با استفاده از فرمول زیر محاسبه می‌شود.

$$(1-2) P = (Ql) / (a(P_1 - P_2))$$

در جایی که  $P$  نفوذپذیری است و بر حسب  $(1)$  Barrer  $= 10^{-10} \text{ cm}^3 (\text{STP}) \text{ cm/cm}^2 \cdot \text{S} \text{ cmHg}$  Barrer محاسبه می‌شود. ضخامت غشاء است بر حسب  $(\text{cm})$ ،  $P_1$  و  $P_2$  فشار مطلق قسمت خوراک و تراویده بر حسب  $(\text{cmHg})$  است و  $a$  سطح موثر غشاء بر حسب  $(\text{cm}^2)$  است. انتخاب پذیری غشاء بواسیله فرمول زیر محاسبه می‌شود.

$$(1-3) \alpha_{ij} = (p_i/p_j)$$

### ۱-۳. بحث و نتیجه گیری

#### ۱-۳-۱. پلی‌سولفون، پلی‌سولفون سیلیکا ساخته شده با حلال‌های مختلف

NMP، Dmac و THF توانایی مختلفی برای حل کردن پلی‌سولفون با مقدار مشخص ۱۰٪ وزنی دارند. کلروفرم، بهترین و سریع‌ترین حل در مقایسه با حلال‌های دیگر است. (جدول ۱-۱) ضرایب حلالیت Hansen که یک معیار برای قدرت حلالیت حلال‌ها به شمار می‌رود آورده است.

با توجه به این جدول ضرایب حلالیت کلی ( $\delta_t$ ) NMP از بقیه حلال‌ها به پلی‌سولفون نزدیک‌تر است در نتیجه بهترین حلال به

تأثیر حلول بر ساختار...

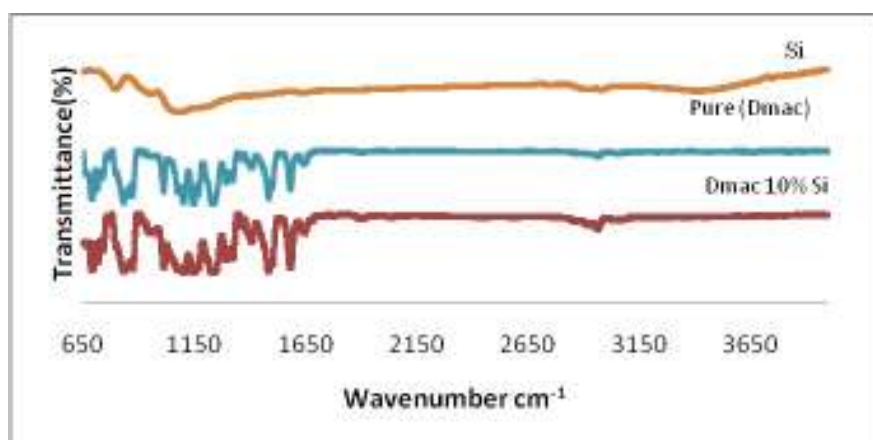
حساب می‌آید.

جدول ۱-۱. پارامتر حلایت هانسن

Material	$\delta_D$	$\delta_p$	$\delta_h$	$\delta_t$	$ \delta_t(SPF) - \delta_t $	$V$
PSF	19.7	8.3	8.3	22.93		
NMP	18	12.3	7.2	22.96	0.03	96.5
Chloroform	17.8	3.1	5.7	18.95	4.01	80.7
Aceton	15.5	10.4	7	20.1	1.15	74
Dmac	16.8	11.5	10.2	22.77	2.67	92.5
THF	16.8	5.7	8	19.46	3.31	81.7

## ۲-۳-۱. تأیین مشخصات غشاها

تأیین مشخصات سیلیکا خالص، پلی‌سولفون و غشای هیبریدی توسط FT-IR انجام شده که نتایج آن در (شکل ۳-۱) و نشان داده شده است.

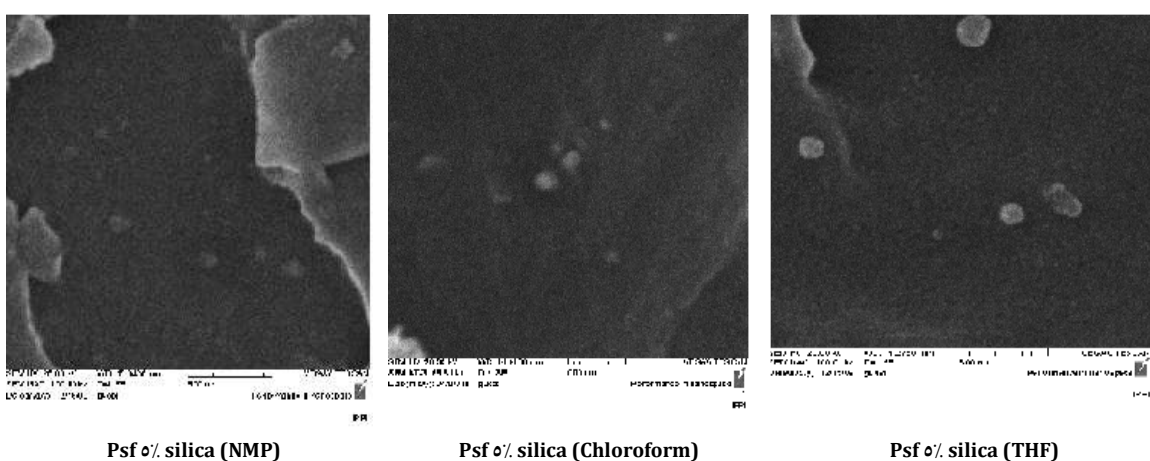


شکل ۳-۱. FT-IR سیلیکا، پلی سولفون و پلی سولفون+سیلیکا

در  $1011\text{cm}^{-1}$  یک پیک ثابت برای همه طیف‌ها وجود داشت که همه طیف‌ها بر اساس آن پیک نرمالایز شدند.

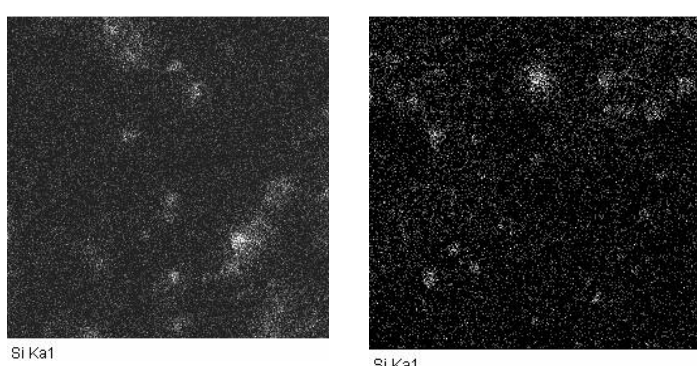
در (شکل ۱-۴) سه طیف پلی‌سولفون ساخته شده با حلal Dmac، سیلیکا و غشاء کامپوزیت پلی‌سولفون ۵٪ سیلیکا آورده شده است. با مقایسه طیف‌ها دو نقطه  $850\text{--}950\text{ cm}^{-1}$  و  $950\text{--}1350\text{ cm}^{-1}$  تأثیرات دو پیک قوی سیلیکا بر غشاء کامپوزیت قابل تشخیص است.

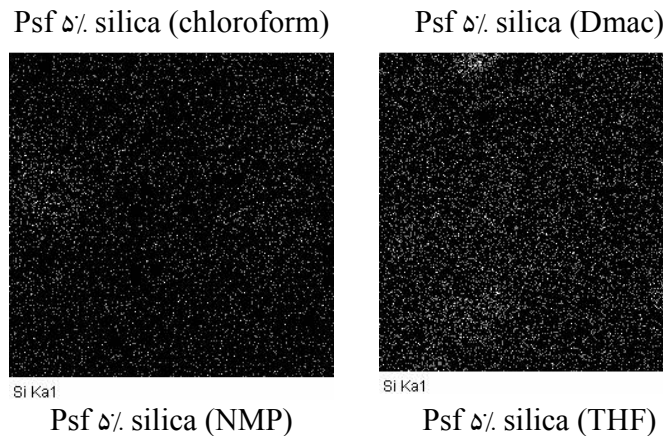
مورفولوژی غشاء پلی‌سولفون خالص و پلی‌سولفون سیلیکا ساخته شده با حلال‌های مختلف بوسیله SEM (شکل ۱-۴) در وضوح ۱۰۰۰ برسی شده است. نانو ذرات سیلیکا در رنج  $50\text{--}100$  نانو متر وجود دارند البته تجمع ذرات هم غیر قابل اجتناب است [۹].



شکل ۱-۴. SEM غشاهای ساخته شده با حلال‌های مختلف

در (شکل ۱-۵) SEM-Mapping را داریم که نشان دهنده توزیع ذرات سیلیکا در سطح مقطع غشاء است. این تصاویر نشان دهنده تجمع در برخی از موارد هستند که این مطلب در غشاء ساخته شده توسط حلال NMP که بهترین حلال است کمتر خودش را نشان می‌دهد. پس یک نتیجه قابل توجه پراکندگی بهتر نانو ذرات سیلیکا با استفاده از حلال مناسب‌تر است.

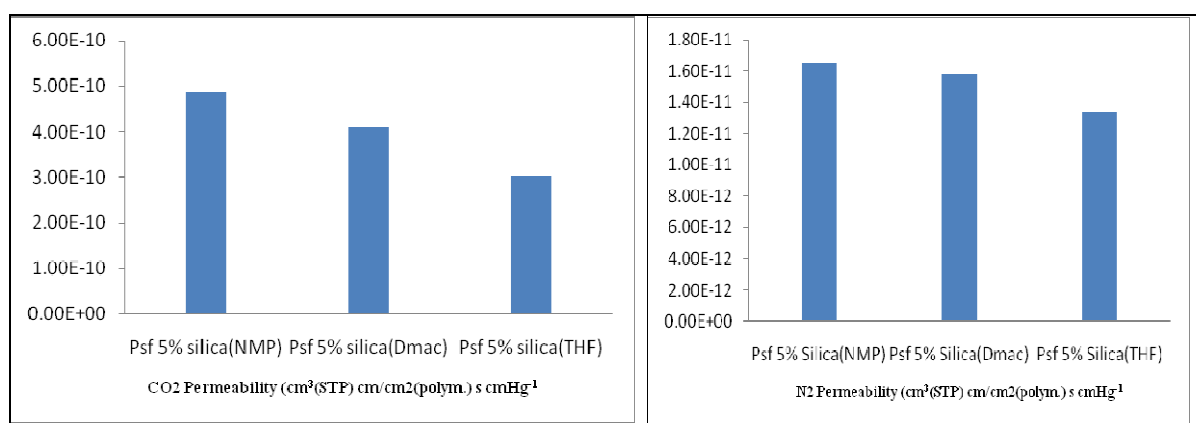


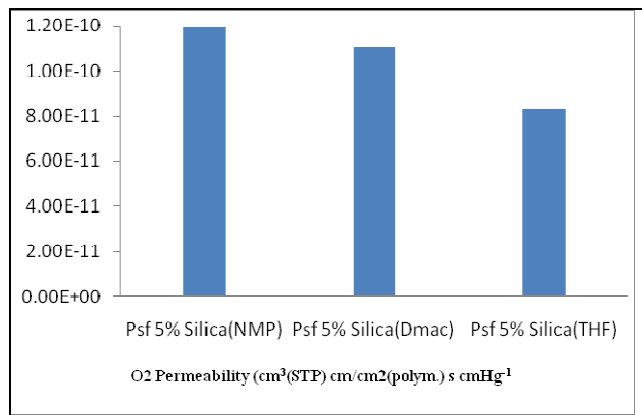


شکل ۱-۵. SEM-Mapping غشاهای نانو کامپوزیت

### ۳-۳-۱. تست نفوذ پذیری گاز

نفوذپذیری گازهای نیتروژن، اکسیژن و دی اکسید کربن در غشاء پلی سولفون و غشاء نانو کامپوزیت پلی سولفون سیلیکا تحت فشار ۱۰ بار و دمای ۲۵ درجه سانتی گراد توسط سیستم حجم ثابت / فشار متغیر بررسی شده است. در شکل (۱-۶) نفوذپذیری غشاهای هیبریدی ساخته شده با هر کدام از حلال ها آورده شده که تأثیر استفاده از حلال های مختلف را نشان می دهد.

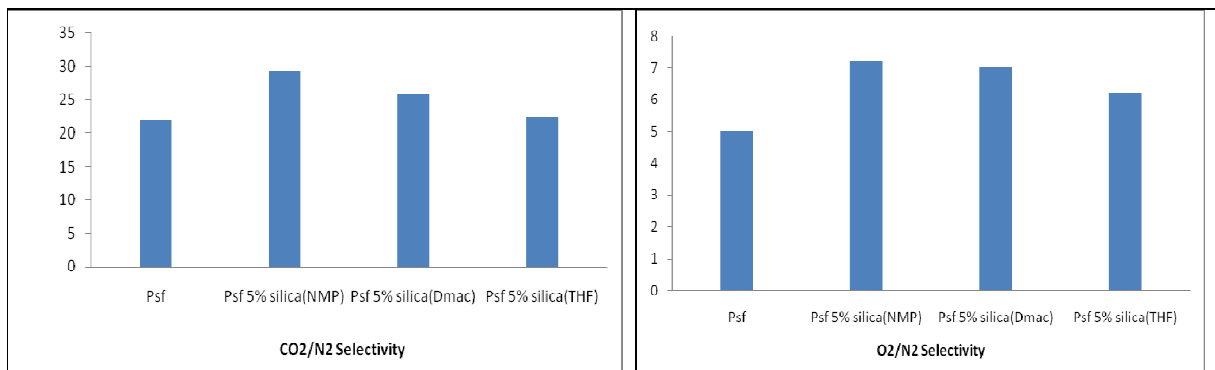




شکل ۱-۶. نفوذپذیری غشاء نانو کامپوزیت ساخته شده با حلال‌های مختلف

این شکل مشخص می‌کند که استفاده از حلال بهتر برای پلیمر می‌تواند نفوذپذیری غشاء را افزایش دهد. دلیل این امر می‌تواند به خاطر اثر مناسب تر حلال با پلیمر که باعث حرکت بلند زنجیره‌های پلیمر می‌شود باشد [۷]. همین طور با توجه به قطر مولکولی حلال‌ها مشخص می‌شود که حلال بهتر برای پلی‌سولفون دارای قطر مولکولی بیشتری است، در نتیجه در هنگام خروج از ماتریس پلیمر فضای خالی بیشتری ایجاد کرده که باعث افزایش نفوذپذیری می‌شود.

همین طور طبق (شکل ۱-۷) انتخاب‌پذیری CO<sub>2</sub>/O<sub>2</sub> و CO<sub>2</sub>/N<sub>2</sub> در غشاء نانو کامپوزیت به خاطر وجود ذرات سیلیکا افزایش پیدا کرده که این افزایش با استفاده از حلال بهتر محسوس‌تر بوده است.



شکل ۱-۷. انتخاب‌پذیری غشاها نانو کامپوزیت

تأثیر حلال بر ساختار...

#### ۴-۱. نتیجه گیری

در این تحقیق اثر حلال‌های مختلف بر مورفولوژی و خصوصیات انتقال غشاء نانو کامپوزیت پلی سولفون-سیلیکا مطالعه شد و نشان داده شد که وجود ذرات نانوسیلیکا باعث کاهش کلی نفوذپذیری کلیه گازها به خصوص گازهای غیر قطبی مثل نیتروژن در غشاء نانو کامپوزیت می‌شود. همچنین استفاده از حلال بهتر سبب نفوذپذیری و انتخاب‌پذیری بیشتری نسبت به سایر حلال‌ها شده که این امر به خاطر تأثیر مناسب بین حلال و نانوذره بوده که باعث افزایش بلند زنجیره‌های پلیمر شده و همین طور به خاطر افزایش فضای خالی بین زنجیره‌های پلیمر تشخیص داده می‌شود.

## ۱-۵. منابع

[۱]	Seyyed Abbas Mousavi a, Morteza Sadeghi, M. Mohammad Yusef Motamed-Hashemia, Mahdi Pourafshari Chenar, Reza Roosta-Azad, Mohammad Sadeghi, Study of gas separation properties of ethylene vinyl acetate (EVA) copolymer membranes prepared via phase inversion method, Separation and Purification Technology ۶۲ (۲۰۰۸) ۶۴۲–۶۴۷
[۲]	K.C. Khulbe, T. Matsuura, G. Lamarche, H.J. Kim, The morphology characterization and performance of dense PPO membranes for gas separation, J. Membr. Sci. ۱۳۵ (۱۹۹۷) ۲۲۱.
[۳]	V. Kolonits, Z.Z. Kolloid, Drying of thin polymer layers, Polymer ۲۲۶ (۱۹۹۸) ۴۰..
[۴]	K.C. Khulbe, T. Matsuura, G. Lamarche, A.M. Lamarche, X-ray diffraction analysis of dense PPO membrtanes, J. Membr. Sci. ۱۷۰ (۲۰۰۰) ۸۱.
[۵]	M. Iqbal, Z. Man, H. Mukhtar, Binay K. Dutta, Solvent effect on morphology and CO <sub>2</sub> /CH <sub>۴</sub> separation performance of asymmetric polycarbonate membranes, Journal of Membrane Science ۳۱۸ (۲۰۰۸) ۱۶۷–۱۷۵.
[۶]	Tabe Mohammadi A., Matsuura T., Sourirajan S.; Design and construction of gas permeation system for the measurement of low permeation rates and permeate compositions; Journal of Membrane Science ۹۸ (۱۹۹۵) ۲۸۱–۲۸۶
[۷]	Morteza Sadeghi, Mohammad Ali Semsarzadeh, Homayoon Moadel, Enhancement of the gas separation properties of polybenzimidazole (PBI) membrane by incorporation of silica nano particles, Journal of Membrane Science ۳۳۱ (۲۰۰۹) ۲۱–۳.
[۸]	Boguslaw Kruczek, Membranes for gas separation made from high molecular weight sulfonated poly (Phenylene oxide). Effect of casting condition on morphology and performance of the membranes.
[۹]	Rajiv Mahajan, Ryan Burns, Michael Schaeffer, William J. Koros, Challenges in Forming Successful Mixed Matrix Membranes with Rigid Polymeric Materials
[۱۰]	Udel Polysulfone design guide By solvay advanced polymers